

К ТЕОРИИ ЛОРЕНЦЕВОЙ ИОНИЗАЦИИ

Б.М.Карнаков¹⁾, В.Д.Мур, В.С.Попов*Московский государственный инженерно-физический институт
(технический университет)
115409 Москва, Россия*Институт теоретической и экспериментальной физики
117259 Москва, Россия

Поступила в редакцию 21 января 1997 г.

В квазиклассическом приближении рассчитана вероятность лоренцевой ионизации ω_L , возникающей при движении атома или иона в постоянном магнитном поле. Рассмотрены нерелятивистский ($v \lesssim e^2/\hbar = 1$, v – скорость атома) и ультрарелятивистский ($v \rightarrow c = 137$) случаи и найден фактор стабилизации S , учитывающий влияние магнитного поля на туннелирование электрона.

PACS: 03.65.-w, 32.60.+i

1. Когда атом или ион влетает в магнитное поле, то в его системе покоя K_0 возникает вследствие преобразования Лоренца электрическое поле \mathcal{E}_0 , вызывающее ионизацию атома; этот процесс получил название лоренцевой ионизации. Мы рассмотрим квазиклассическую теорию лоренцевой ионизации и получим формулы для вероятности ω_L , которые являются асимптотически точными в области слабых ($\epsilon, h \ll 1$) полей. Далее, как правило, используются атомные единицы $\hbar = e = m_e = 1$ и "приведенные" напряженности внешних полей:

$$\epsilon = \mathcal{E}_0/\kappa^3 \mathcal{E}_a, \quad h = \mathcal{H}_0/\kappa^2 \mathcal{H}_a,$$

где $\kappa = \sqrt{-2E_0}$ (E_0 – энергия атомного уровня), $\mathcal{E}_a = 5.14 \cdot 10^9$ В/см и $\mathcal{H}_a = 2.35 \cdot 10^9$ Гс. Здесь мы ограничимся наиболее важным случаем ионизации s -уровня ($l = 0$).

2. Если атом движется со скоростью v под углом φ к направлению магнитного поля \mathcal{H} , то в его системе покоя действуют поля \mathcal{E}_0 и \mathcal{H}_0 :

$$\mathcal{E}_0 = q\mathcal{H} = (\Gamma^2 - 1)^{1/2} \sin \varphi \cdot \mathcal{H},$$

$$\mathcal{H}_0 = (1 + q^2)^{1/2} \mathcal{H} = (\Gamma^2 \sin^2 \varphi + \cos^2 \varphi)^{1/2} \mathcal{H}, \quad (1)$$

$\mathcal{E}_0 \perp \mathcal{H}_0$, где $q = p_\perp/mc$, p_\perp – поперечный (относительно поля \mathcal{H}) импульс частицы и $\Gamma = (1 - v^2/c^2)^{-1/2}$ – лоренц-фактор. Важным физическим параметром, определяющим подбарьерное движение электрона, является²⁾ $\gamma_L = \omega_c/\omega_t$, где $\omega_c = e\mathcal{H}_0/m_e c$ – ларморовская, или циклотронная частота, $\omega_t = \mathcal{E}_0/\kappa$ – частота туннелирования в электрическом поле [3, 4]:

$$\gamma_L = \frac{\kappa \mathcal{H}_0}{c \mathcal{E}_0} = \frac{\kappa}{v} \left(1 + \frac{\text{ctg}^2 \varphi}{\Gamma^2} \right)^{1/2}, \quad (2)$$

¹⁾ e-mail: karnak@theor.mephi.msk.su

²⁾ Отметим, что этот параметр аналогичен известному параметру Келдыша [1, 2] $\gamma = \omega/\omega_t$ в теории многофотонной ионизации атомов лазерным светом с частотой ω .

где скорость v выражена в атомных единицах $e^2/\hbar = 2.19 \cdot 10^8$ см/с. Для нерелятивистских частиц $\mathcal{E}_0/\mathcal{H}_0 = v_{\perp}/c \ll 1$, а $\gamma_L = \kappa/v_{\perp}$ может принимать любые значения. В то же время, в случае ультрарелятивистских, $\Gamma \gg 1$, частиц $\mathcal{E}_0/\mathcal{H}_0 = 1 - (2q^2)^{-1} \rightarrow 1$ и в системе K_0 возникают скрещенные поля, то есть $\mathcal{E}_0 \perp \mathcal{H}_0$ и $\mathcal{E}_0 = \mathcal{H}_0$. При этом \mathcal{E}_0 может во много раз превышать исходное магнитное поле \mathcal{H} , а параметр

$$\gamma_L = \frac{\kappa}{137} [1 + (2\Gamma^2 \sin^2 \varphi)^{-1}] \ll 1.$$

Используя квазиклассическое решение [3, 4] задачи об ионизации атома в электрическом и магнитном полях, полученное с помощью метода "мнимого времени" [5], для вероятности лоренцевой ионизации (в лабораторной системе K) находим:

$$\omega_L = \Gamma^{-1} \kappa^2 A_{\kappa}^2 \left(\frac{\epsilon}{2}\right)^{1-2\eta} P(\gamma_L) [Q(\gamma_L)]^{\eta} \times \\ \times \exp \left\{ -\frac{2}{3\epsilon} g(\gamma_L) \right\}. \quad (3)$$

Здесь A_{κ} - асимптотический коэффициент на бесконечности волновой функции в свободном ($\mathcal{E} = \mathcal{H} = 0$) атоме, см. формулу (9) в [4], $\eta = Z/\kappa$ - параметр Зоммерфельда, Z - заряд атомного остова³⁾,

$$\epsilon = \mathcal{E}_0/\kappa^3 = \Gamma \frac{v_{\perp} \hbar}{137\kappa}, \quad (4)$$

$$g(\gamma) = \frac{3\tau_0}{2\gamma} \left[1 - \frac{\sqrt{\tau_0^2 - \gamma^2}}{\gamma^2} \right], \quad (5)$$

$$P(\gamma) = \frac{\gamma^2}{\tau_0} \left[\left(\frac{\text{sh}\tau_0}{\tau_0} + \frac{\tau_0}{\text{sh}\tau_0} \right) \text{ch}\tau_0 - 2 \right]^{-1/2}, \quad (5a)$$

$$Q(\gamma) = \left(\frac{\tau_0}{2\gamma} \right)^2 \exp \left(2 \int_0^{\tau_0} d\tau \left\{ \frac{\gamma}{\tau_0} \left[\left(\frac{\text{ch}\tau_0 - \text{ch}\tau}{\text{sh}\tau_0} \right)^2 - \left(\frac{\text{sh}\tau}{\text{sh}\tau_0} - \frac{\tau}{\tau_0} \right)^2 \right]^{-1/2} - \frac{1}{\tau_0 - \tau} \right\} \right), \quad (5b)$$

и, наконец, $\tau_0 = \tau_0(\gamma)$ определяется из уравнения

$$\tau_0^2 - (\tau_0 \text{cth}\tau_0 - 1)^2 = \gamma^2 \quad (6)$$

(см. рис.1). Отметим, что τ_0 имеет простой физический смысл $\tau_0 = -i\omega_{\epsilon} t_0$, где t_0 - начальный (чисто мнимый) момент подбарьерного движения, которое заканчивается при $t = 0$, когда электрон выходит из-под барьера. Множитель Γ^{-1} в (3) учитывает эффект замедления времени при переходе от системы покоя K_0 в систему K .

Функции g , P и Q , рассчитанные по приведенным выше формулам, показаны на рис.2. Заметим, что фактор $(\epsilon/2)^{-2\eta} Q^{\eta}$ в (3) происходит от учета

³⁾ $Z = 1, 0$ и 2 , соответственно в довольно узких пределах: для нейтрального атома и однозарядных отрицательного и положительного ионов. Для основного состояния атома водорода $\kappa = \eta = 1$ и $A_{\kappa} = \sqrt{2}$. Отметим, что для внешних s -электронов в нейтральных атомах коэффициент A_{κ} изменяется в довольно узких пределах: от $A_{\kappa} = 1.31$ для атома Cs до $A_{\kappa} = 1.72$ для Hg . Таким образом, вероятность ω_L в основном определяется энергией связи уровня.

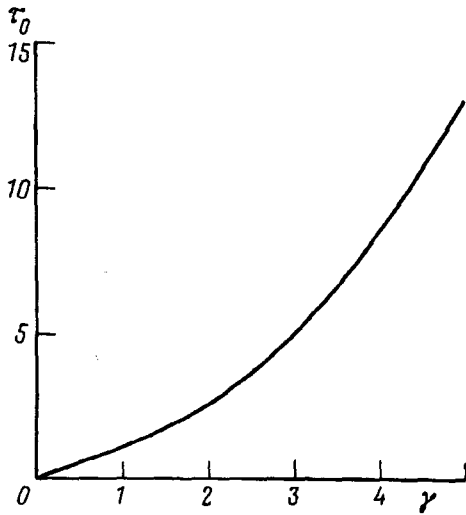


Рис.1. Зависимость τ_0 от γ согласно уравнению (6)

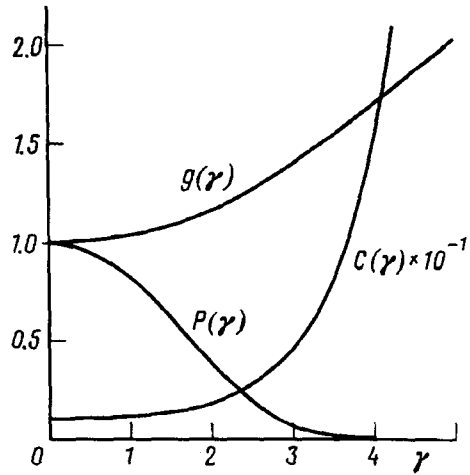


Рис.2. Графики функций, входящих в формулу (3); при этом $C(\gamma) \equiv \sqrt{Q(\gamma)}$

кулоновского взаимодействия между вылетающим электроном и атомным остовом (для отрицательных ионов типа H^- , He^- и других он обращается в единицу, поскольку $Z = \eta = 0$). Как следует из рис.2, этот (кулоновский) фактор значительно повышает вероятность ионизации w_L , особенно в случае $\gamma_L \gg 1$. Предэкспоненциальный множитель $P(\gamma_L)$ возникает в результате суммирования вкладов в вероятность туннелирования от пучка подбарьерных траекторий, близких к экстремальной (см. уравнение (3) в [4]), и действует в противоположную сторону. Хотя функции $P(\gamma)$ и $Q(\gamma)$ изменяются более резко, чем $g(\gamma)$, вероятность w_L наиболее чувствительна к изменению именно $g(\gamma_L)$, поскольку эта функция входит в (3) в экспоненте, и притом с большим коэффициентом $2/3\epsilon$.

Вероятность лоренцевой ионизации удобно записать в виде

$$w_L = \Gamma^{-1} S w(\mathcal{E}_0), \quad (7)$$

где $w(\mathcal{E}_0)$ – вероятность ионизации s -уровня под действием одного только электрического поля \mathcal{E}_0 , а S – “фактор стабилизации”, учитывающий подавление распада связанного состояния магнитным полем:

$$S = P(\gamma_L) [Q(\gamma_L)]^\eta \exp\{-\hbar^{-1} f(\gamma_L)\}, \quad (8)$$

где

$$f(\gamma) = \frac{2}{3} \gamma [g(\gamma) - 1] = \begin{cases} \frac{\gamma^2}{45} \left(1 + \frac{11}{252} \gamma^2 + \dots\right), & \gamma \ll 1 \\ \frac{\gamma^2}{4} \left(1 - \frac{8}{3\gamma} + \frac{2}{\gamma^2} + \dots\right), & \gamma \gg 1 \end{cases}, \quad (9)$$

$$PQ^\eta = \begin{cases} 1 + \frac{2}{9} \left(\eta - \frac{3}{4}\right) \gamma^2 + \dots, & \gamma \ll 1 \\ 0.177 \exp\left\{-\left[\frac{1}{2} \gamma^2 - \pi \eta \gamma + (2\eta - 1)(\ln \gamma + 2.27)\right]\right\}, & \gamma \gg 1 \end{cases}. \quad (10)$$

Для медленных частиц фактор стабилизации экспоненциально мал:

$$S \approx \exp \left\{ -\frac{1}{4h} \left(\frac{\kappa}{v_{\perp}} \right)^2 \right\}, \quad v \ll \kappa \quad (11)$$

(при этом $\gamma \ll 1$). Однако он быстро увеличивается с ростом скорости атома и приближается к единице при $v \gg 0.3\kappa h^{-1/3}$, когда $\gamma \ll 3.5h^{1/3}$:

$$S = 1 - \frac{1}{45h} \left(\frac{\kappa}{v_{\perp}} \right)^3 (1 + 2h) + \dots \quad (12)$$

3. Численный расчет дает для S кривые рис.3, из которого видно, что $S \ll 1$ в случае достаточно "слабых" магнитных полей, а также при $\gamma_L \gtrsim 1$. Влияние кулоновского взаимодействия на величину S становится заметным при $\gamma_L > 1.5$ (сравните сплошные и штриховые кривые на рис.3, относящиеся к одним и тем же значениям параметра γ_L). Предэкспоненциальный множитель $P(\gamma_L)$ резко уменьшает вероятность ионизации, если $\gamma_L > 10$.

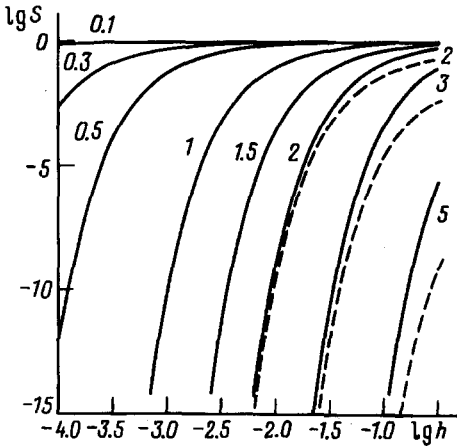


Рис.3. Фактор стабилизации S : сплошные кривые — для основного состояния атома водорода ($\kappa = \eta = 1$), штриховые кривые — для отрицательного иона с $\kappa = 1$, $\eta = 0$. У кривых указаны значения параметра γ_L

Статические магнитные поля, полученные в лабораторных условиях, не превышают 1 МГц. Метод магнитной кумуляции (то есть сжатие аксиального магнитного поля с помощью взрыва), предложенный Сахаровым в 1951 г. [6], позволил достичь рекордных значений $\mathcal{H} = 25$ МГц в СССР [6, 7] и $\mathcal{H} = 15$ МГц в США [8]. Дальнейший прогресс в этой области позволяет ожидать достижения полей $3 \cdot 10^7 \div 10^8$ Гс [9]. Исходя из этого, мы вычислили фактор стабилизации S для атома водорода, см. таблицу, в которой магнитное поле выражено в МГц, скорость v — в атомных единицах, $\varphi = \pi/2$ и используется обозначение $a(b) \equiv a \cdot 10^b$. Из таблицы видно, что в рассматриваемой области значений \mathcal{H} и v происходит резкий переход от экспоненциального подавления (11) вероятности w_L к случаю (12), когда влиянием магнитного поля уже можно пренебречь. Для быстрых ($v \gtrsim 10\kappa$ и тем более при $\Gamma \gg 1$) частиц фактор $S \approx 1$, то есть ионизация атомного уровня происходит практически с той же скоростью, что и в случае чисто электрического поля \mathcal{E}_0 . Этим лоренцева ионизация при $\Gamma \gg 1$ отличается от известной задачи о рождении пар из вакуума, вероятность которого в случае скрещенных полей обращается в нуль тождественно [10].

| $\mathcal{H} \backslash v$ | 1.0 | 1.25 | 2 | 10 |
|----------------------------|----------|----------|----------|--------|
| 1 | 2.2(-24) | 1.2(-12) | 1.38(-3) | 0.950 |
| 10 | 4.53(-3) | 6.63(-2) | 0.524 | 0.995 |
| 25 | 0.119 | 0.345 | 0.779 | 0.9985 |
| 50 | 0.355 | 0.598 | 0.889 | 0.9995 |

Приведем численные оценки. При $\mathcal{H} < 1$ МГц атом, по существу, стабилен, так как электрическое поле \mathcal{E}_0 слишком мало ($\mathcal{E}_0 < 0.01$ при $\Gamma < 25$). В области $\mathcal{H} > 10$ МГц лоренцева ионизация может наблюдаться, если скорость v не очень мала. Так, при $\mathcal{H} = 25$ МГц получим: $w_L \approx 10^{-9}$; $7 \cdot 10^{-4}$; $1.5 \cdot 10^5$; 10^{13} и $3 \cdot 10^{15} \text{ с}^{-1}$, соответственно для $v = 1$; 1.25; 2; 5 и 10 а.е. Таким образом, в этом интервале скоростей ситуация меняется от практически полной стабильности атома до ионизации его за время, сравнимое с атомным.

4. В заключение сделаем несколько замечаний.

а) Рассмотренная выше теория может быть обобщена на состояния с $l \neq 0$. При этом экспоненциальный множитель в (3) сохраняет свой вид, но предэкспонента существенно изменяется.

б) Обобщая метод мнимого времени на релятивистский случай, можно рассмотреть ионизацию уровня, энергия связи которого сравнима с $m_e c^2$. С учетом поправок порядка α^2 вероятность ионизации в случае взаимно перпендикулярных полей \mathcal{E} и \mathcal{H} равна

$$w(\mathcal{E}, \mathcal{H}) \propto \exp \left\{ -\frac{2}{3\epsilon} (1 - c_1 \alpha^2 \kappa^2) \right\} \quad (13)$$

(с экспоненциальной точностью), где

$$c_1 = -\frac{1}{30} \left[\frac{9}{4} - \left(\frac{\mathcal{H}}{\mathcal{E}} \right)^2 \right], \quad \alpha = \frac{e^2}{\hbar c} = \frac{1}{137}. \quad (13a)$$

В частности, $c_1 = 3/40$ для чисто электрического поля, $c_1 = 1/24$ для скрещенных полей. В этих случаях релятивистская поправка слегка увеличивает вероятность ионизации.

Отметим, что главный ($-2/3\epsilon$) член в экспоненте (13) определяется только электрическим полем и не зависит от \mathcal{H} . Иная ситуация возникает, когда уровень приближается к границе нижнего континуума⁴⁾. Этот вопрос мы отложим до более подробной публикации.

в) Для отрицательных ионов и ридберговских состояний атомов параметр $\kappa \ll 1$; так, $\kappa = 0.236$ и 0.075 для H^- и He^- , $\kappa = 1/n$ для возбужденных состояний атома водорода с главным квантовым числом n . Слабо связанные состояния с $\kappa \ll 1$ встречаются также в физике твердого тела, например, экситоны Ванье-Мотта в полупроводниках ($\kappa \sim 0.01$ для кристалла германия) и др. В этих случаях для ионизации уровня требуются существенно меньшие поля⁵⁾, чем приведенные выше для атома водорода, что, несомненно, облегчает постановку эксперимента.

Авторы благодарны Ю.Н.Демкову за полезное обсуждение в ходе работы, а также С.Г.Позднякову и А.В.Сергееву за помощь в численных расчетах.

⁴⁾Это может осуществляться [11, 12] в сверхтяжелых ($Z \sim Z_{cr} = 173$) атомах, либо при столкновении двух тяжелых ядер ($Z_1 + Z_2 > Z_{cr}$).

⁵⁾Характерные напряженности внешних полей $\sim \kappa^3 \mathcal{E}_a$ и $\kappa^2 \mathcal{H}_a$ при $\kappa \ll 1$ значительно меньше атомных полей.

-
1. Л.В.Келдыш, ЖЭТФ **47**, 1945 (1964).
 2. Н.Б.Делоне, В.П.Крайнов, *Атом в сильном световом поле*, М.: Энергоиздат, 1984.
 3. Л.П.Котова, А.М.Переломов, В.С.Попов, ЖЭТФ **54**, 1151 (1968).
 4. В.С.Попов, А.В.Сергеев, Письма в ЖЭТФ **63**, 398 (1996).
 5. А.М.Переломов, В.С.Попов, М.В.Терентьев, ЖЭТФ **50**, 1393; **51**, 309 (1966).
 6. А.Д.Сахаров, Р.З.Людаев, Е.Н.Смирнов и др., ДАН СССР **198**, 65 (1965).
 7. А.Д.Сахаров, *Научные труды*, М.: Центрком, 1995.
 8. D.Bitter, *Sci. American* **213**, 65 (1965).
 9. А.И.Павловский, в сб. [7], стр.85.
 10. J.Schwinger, *Phys. Rev.* **82**, 664 (1951).
 11. Я.Б.Зельдович, В.С.Попов, УФН, **105**, 403 (1971).
 12. W.Greiner, B.Müller, and J.Rafelski, *Quantum Electrodynamics of Strong Fields*, Springer, Berlin, 1985.